

ОБ ОПТИМАЛЬНОЙ ПЕРЕОРИЕНТАЦИИ СПУТНИКА  
НА КРУГОВОЙ ОРБИТЕ

А. А. АНЧЕВ, А. А. МЕЛИКЯН

(София, Москва)

Рассмотрена задача об оптимальном управлении математическим маятником, которая описывает также управляемый поворот спутника в плоскости круговой орбиты. В работах [1-5] для достаточно больших значений управляющего момента исследованы программная задача и оптимальный синтез приведения системы в начало координат как на всей фазовой плоскости, так и на фазовом цилиндре. В работе [6] при помощи развитого в ней метода осреднения для управляемых систем упомянутая задача рассмотрена при малых значениях момента.

В публикуемой работе проведено численное и качественное исследование программной задачи о переориентации спутника для малых значений управляющего момента, построены зависимости времени быстрогодействия и числа переключений от момента.

1. Вращение спутника вокруг собственной оси в плоскости круговой орбиты под действием внешнего или внутреннего управляющего момента описывается безразмерным дифференциальным уравнением и ограничением [2, 3, 7]:

$$\ddot{x} + \sin x = au, \quad |u| \leq 1, \quad a > 0 \quad (1.1)$$

Величины, использованные в (1.1), имеют следующий смысл:

$$t = \sqrt{3 \frac{A-C}{B}} \omega t', \quad a = \frac{2}{3} \frac{M^*}{\omega^2(A-C)}, \quad x = 2\vartheta, \quad u = \frac{M}{M^*} \quad (1.2)$$

Здесь  $\omega$  — угловая скорость движения спутника по орбите;  $A, B, C$  — главные центральные моменты инерции спутника;  $\vartheta$  — угол между осью  $C$  спутника и его радиус-вектором;  $M$  и  $M^*$  — управляющий момент и его максимальная величина,  $|M| \leq M^*$ ;  $t'$  — реальное время. По предположению  $A > C$ . Дифференцирование в (1.1) проводится по безразмерному времени  $t$ . Отметим, что управляющий момент  $M$  может быть как внешним, создаваемым реактивным двигателем, так и внутренним, возникающим благодаря наличию вращающихся внутренних масс (случай спутника-гиростата [3]).

Рассмотрим задачу об оптимальном по быстродействию переводе спутника из положения  $\vartheta = \pi, \dot{\vartheta} = 0$  в положение  $\vartheta = 0, \dot{\vartheta} = 0$ . Оба положения соответствуют устойчивому вращению спутника по орбите [7]. При помощи соотношений (1.1), (1.2) указанная задача запишется в виде следующей задачи оптимального управления ([8]):

$$\dot{x} = y, \quad \dot{y} = -\sin x + au, \quad |u| \leq 1 \quad (1.3)$$

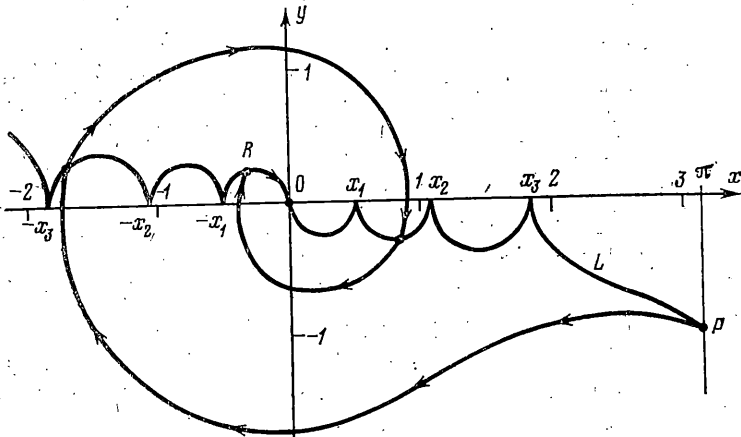
с граничными условиями

$$x(0) = 2\pi, \quad y(0) = 0, \quad x(t_1) = y(t_1) = 0, \quad T = \min t_1 \quad (1.4)$$

Существование решения  $\{T, x(t), u(t), 0 \leq t \leq T\}$  задачи (1.3), (1.4) следует из результата работы [9] с учетом того, что, например, синтез  $u = -\operatorname{sgn} x$  дает решение задачи о приведении системы (1.1) в начало координат из любой начальной точки фазовой плоскости  $(x, \dot{x})$ . Используя (1.3), (1.4), можно показать, что решение рассматриваемой задачи обладает симметрией вида

$$2\pi - x(t) = x(T-t), \quad u(t) = -u(T-t), \quad 0 \leq t \leq 1/2 T \quad (1.5)$$

Из (1.5) следует, в частности, что  $x(1/2 T) = \pi$ . Нетрудно видеть, что время  $1/2 T$  является оптимальным временем быстрого действия в задаче приведения системы (1.3) из многообразия (прямой)  $x = \pi$  в начало координат, а функции (1.5)  $x(t), u(t)$ , взятые на интервале  $1/2 T \leq t \leq T$ , дают решение



Фиг. 1

этой задачи. В силу автономности рассматриваемой системы формулировка последней задачи может быть дана в виде

$$\dot{x} = y, \quad \dot{y} = -\sin x + au, \quad |u| \leq 1 \quad (1.6)$$

$$x(0) = \pi, \quad x(t_1) = y(t_1) = 0, \quad T' = 1/2 T = \min t_1$$

Задача (1.6) является задачей оптимального быстрого действия с нефиксированным концом. Обозначим через  $p(t), q(t), 0 \leq t \leq T'$  переменные, сопряженные к  $x$  и  $y$  соответственно. Из условий трансверсальности [8] для задачи (1.6) следует, что вектор  $(p, q)$  в начальный момент ортогонален многообразию  $x = \pi$  в плоскости  $(x, y)$ :  $p(0) = \lambda, q(0) = 0$ . Вычисляя максимум гамильтониана  $H = py - q \sin x + qau$  по  $u$  на отрезке  $-1 \leq u \leq 1$ , получаем для оптимального управления выражение  $u(t) = \operatorname{sgn} q(t)$ .

Таким образом, соотношения принципа максимума [8] для задачи (1.6) приводят к следующей краевой задаче четвертого порядка:

$$\dot{x} = y, \quad \dot{y} = -\sin x + a \operatorname{sgn} q$$

$$\dot{p} = q \cos x, \quad \dot{q} = -p, \quad 0 \leq t \leq T' \quad (1.7)$$

$$x(0) = \pi, \quad q(0) = 0, \quad x(T') = y(T') = 0$$

2. Задача (1.7) для различных значений параметра  $a < 1$  решалась численно; в алгоритме были использованы некоторые качественные особенности оптимального синтеза в задаче о приведении системы (1.1)

в начало координат  $[1, 2, 4, 5]$ . Кратко опишем их. При всех значениях  $a > 0$  существует односвязная ветвь  $L$  кривой переключения, проходящая через начало координат, обладающая центральной симметрией и уходящая в бесконечность в II и IV квадрантах плоскости  $(x, y)$ . Для значений  $a > a_1 = 0.7246$  кривая  $L$  является гладкой (при  $a > 1$  также монотонной). При  $a_{h+1} < a \leq a_h$  кривая  $L$  имеет  $2k$  изломов в точках  $y=0, x=\pm x_i(a)$  ( $i=1, 2, \dots, k, k=1, 2, \dots$ ) (фиг. 1). Величины  $a_h, x_h$  являются корнями трансцендентных уравнений

$$\pi - \arcsin a + 2(x_0 + x_1(a) + \dots + x_{h-1}(a)) = (1 + \sqrt{1-a})/a, \quad 0 < a < a_{h-1} \quad (2.1)$$

$$x + 2(x_0 + x_1(a) + \dots + x_{h-1}(a)) = (1 - \cos x)/a \quad (2.2)$$

$$x_{h-1} < x < \pi - \arcsin a_h \quad (h=1, 2, \dots), \quad x_0=0, \quad a_0=\infty$$

полученных из анализа соотношений принципа максимума. Значения  $a_h$  имеют следующий механический смысл: если момент  $a$  в (1.1) лежит в интервале  $a_{h+1} < a \leq a_h$  ( $h=0, 1, \dots$ ) то для того, чтобы привести математический маятник, находящийся в нижнем положении равновесия, в верхнее вертикальное положение, необходимо использовать не менее чем  $k$  переключений. Уравнения (2.1), (2.2) решались совместно; ниже приведены результаты численного счета для первых десяти  $a_h$ .

Из граничного условия  $q(0)=0$  в (1.7) видно, что конец искомой оптимальной программной траектории, соответствующий начальному моменту  $t=0$ , лежит на кривой переключения упомянутого выше оптимального синтеза, т. е. является точкой пересечения этой кривой с прямой  $x=\pi$ . На фиг. 1 изображена одна из траекторий такого типа, начинающаяся в точке  $P$ .

В работе [1] показано, что кроме центральной ветви кривой переключения существует еще счетное множество ветвей, уходящих в бесконечность. Каждая из этих дополнительных ветвей кривой переключения непрерывно смыкается с ветвью другой особой кривой — рассеивающей (терминология [10]), из точек которой исходят две оптимальные траектории. Отметим, что в [1] точки рассеивающей кривой без должного обоснования выделялись по признаку обращения в нуль сопряженной переменной, а не по равенству функционала (времени быстрого действия) на двух траекториях. Так, данные фиг. 7, а ([1], стр. 32, участок рассеивающей кривой в нижней полуплоскости) противоречат теореме [4, 5] о чередовании корней у функций  $x'(t)$  и сопряженной с ней  $q(t)$  на оптимальном движении; отсюда следует, что, по крайней мере, на упомянутом участке рассеивающей кривой  $q \neq 0$ .

Таким образом, начало оптимальной траектории задачи (1.7) может лежать на пересечении прямой  $x=\pi$  как с центральной ветвью кривой переключения (точка  $P$ , фиг. 1), так и с другой ветвью (точка  $Q$ , фиг. 2). В соответствии с указанными случаями будем различать траектории первого и второго типов.

Для расчета траектории первого типа в обратном времени была использована итеративная процедура. При выбранном фиксированном  $a$  по приведенным данным

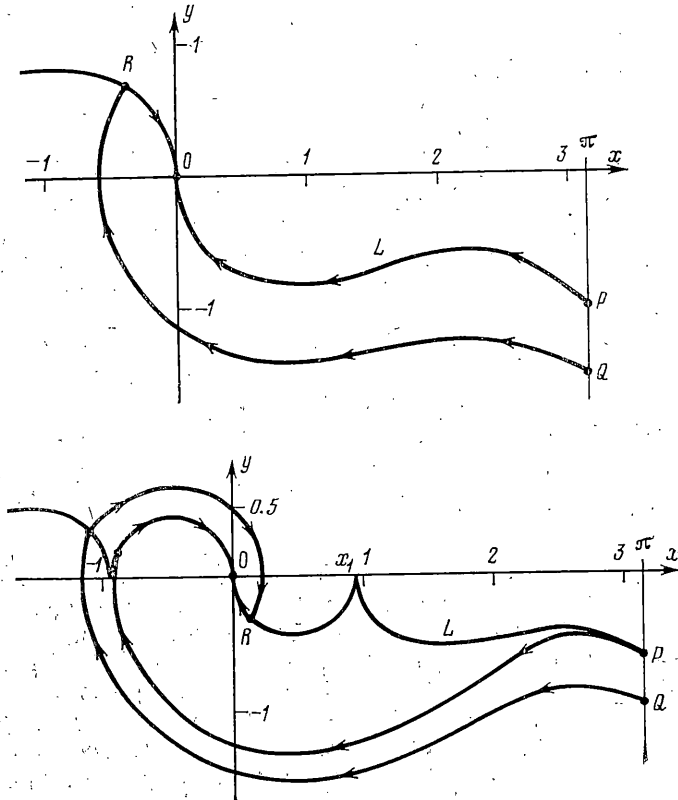
$a_1$	0.7246	$a_6$	0.1516
$a_2$	0.4223	$a_7$	0.1304
$a_3$	0.2934	$a_8$	0.1144
$a_4$	0.2240	$a_9$	0.1019
$a_5$	0.1809	$a_{10}$	0.0948

определялось число переключений на траектории. Если  $k=0$ , то искомая траектория является просто участком линии переключения (кривая  $OP$ ,

фиг. 2, а) и может быть построена интегрированием системы дифференциальных уравнений

$$\dot{x} = -y, \quad \dot{y} = \sin x + (-1)^k a, \quad x(0) = y(0) = 0 \quad (2.3)$$

до выполнения равенства  $x = \pi$ . Для  $k \geq 1$  на каждой итерации менялась точка  $R$  переключения и схода траектории с дуги  $OR$  кривой переключения

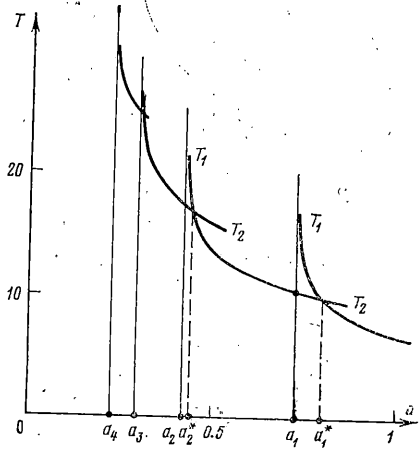


Фиг. 2

(фиг. 1). Сначала система (2.3) интегрировалась до момента  $t_1$ :  $x(t_1) = (-1)^k x_1(a)$ , т. е. до пересечения траектории с осью  $x$ . Затем на первом шаге в качестве момента схода с дуги  $OR$  брался момент  $t_2 = 1/2 t_1$ . Интегрировалась система (1.7) в обратном времени. Причем остановка производилась в момент  $k$ -го (считая точку  $R$ ) обращения в нуль сопряженной переменной  $q(t)$ . В качестве следующего приближения для точки схода  $R$  бралась середина отрезка  $[t_3, t_2]$  или  $[t_2, t_1]$  (на первом шаге  $t_3 = 0$ ) в зависимости от того, оказалась ли последняя точка траектории правее вертикали  $x = \pi$  или левее ее. Сходимость итераций определялась по близости к  $\pi$  координаты  $x$  в момент остановки. Исследовалась зависимость  $T = T(a)$  времени оптимального быстрогодействия от момента  $a$ . Функция  $T(a)$ , очевидно, является монотонно убывающей с ростом  $a$ . Расчеты показали, что при  $a \rightarrow a_k + 0$  имеет место  $T_1 \rightarrow \infty$  (см. фиг. 3); через  $T_1(T_2)$  будем обозначать время перехода на траекториях первого (второго) типа. Следовательно, для значений  $a$  в некоторой окрестности справа от  $a_k$  оптимальными являются траектории второго типа. Для значений  $a > a_k$ , достаточно близких к  $a_k$ , рассчитывались траектории второго типа и вычислялось время

$T_2(a)$ ; отыскивалось критическое значение  $a_k^*$ , при котором  $T_1=T_2$ . Описанный выше алгоритм не давал сходимости для траекторий второго типа, т. е. для значений  $a_k < a < a_k^*$  при числе переключений, равном  $k+1$ . Поэтому траектории второго типа вычислялись минимизацией времени достижения прямой  $x=\pi$  по моменту первого схода (в обратном времени) с кривой переключения; число переключений полагалось равным  $k+1$ . Искомая зависимость имеет вид  $T(a) = \min [T_1(a), T_2(a)]$ .

Укажем некоторые ее качественные особенности. На интервале  $a_{k+1}^* < a < a_k$  оптимальными являются траектории первого типа. В точке  $a=a_k$  происходит перестройка фазовой картины оптимального синтеза. Траектория первого типа при  $a=a_k-0$  переходит при  $a=a_k+0$  в траекторию второго типа с сохранением числа переключений; функция  $T(a)$  в окрестности  $a_k$  — гладкая. На интервале  $a_k < a < a_k^*$  оптимальными являются траектории второго типа. При переходе через точку  $a_k^*$  в сторону увеличения  $a$  второй тип траектории сменяется первым, число переключений уменьшается на два (для полной траектории), график функции  $T(a)$  имеет излом в точке  $a_k^*$ , фиг. 3. Таким образом, точка  $a_k^*$  является точкой бифуркации, при этом значении  $a$  существуют две оптимальные траектории первого и второго типов.



Фиг. 3

На фиг. 2, а, б приведены результаты расчетов двух оптимальных траекторий для  $a=a_1^*$  и  $a=a_2^*$ .

Из фиг. 3 видно, что для приближенного вычисления  $a_k^*$  можно рассчитать ветвь зависимости  $T_1(a)$  на интервале  $(a_{k+1}, a_k)$  и гладко экстраполировать ее вправо от точки  $a_k$  до пересечения с ветвью интервала  $(a_k, a_{k-1})$ . Абсцисса точки пересечения является приближенным значением  $a_k^*$ . При этом используется только алгоритм расчета траекторий первого типа. Ниже приведены значения пяти  $a_k^*$ :

$a_1^*$	$a_2^*$	$a_3^*$	$a_4^*$	$a_5^*$
0.80	0.44	0.30	0.23	0.19

Величины  $a_1^*$  и  $a_2^*$  рассчитывались с использованием траекторий первого и второго типов, последние три значения получены описанным приближенным методом. Число переключений  $N=N(a)$  на оптимальной траектории перевода системы из точки  $(2\pi, 0)$  в начало координат определяется равенством  $N(a)=2k+1$ ,  $a_{k+1}^* < a < a_k^*$ ,  $(k=0, 1, \dots)$ ,  $a_0^* = \infty$ .

В точках  $a_k^*$  ( $k=1, 2, \dots$ ), функция  $N(a)$  принимает два значения  $2k+1$  и  $2k-1$  в соответствии с существованием двух оптимальных траекторий.

Авторы благодарят Д. Петрову и Л. С. Вишневецкого за помощь при проведении расчетов.

Поступила 26 VI 1979

ЛИТЕРАТУРА

1. Garcia Almuzara J. L., Flügge-Loitz I. Minimum time control of a nonlinear system. Different. Equat., 1968, vol. 4, No. 1, p. 12-39.

2. Белецкий В. В. Об оптимальном приведении искусственного спутника Земли в гравитационно-устойчивое положение. *Космические исследования*, 1971, т. 9, вып. 3.
3. Anchev A. A. Equilibrium attitude transitions of a three-rotor gyrostat in a circular orbit. *AIAA Journal*, 1973, vol. 11, No. 4, p. 467-472.
4. Ли Э. Б., Маркус Л. Основы теории оптимального управления. М., «Наука», 1972.
5. Ли Э. Б., Маркус Л. О необходимых и достаточных условиях оптимальности по быстродействию для нелинейных систем второго порядка. Тр. II Междунар. конгр. ИФАК, Базель 1963, М., «Наука», 1965, стр. 155-166.
6. Акуленко Л. Д., Черноусько Ф. Л. Метод осреднения в задачах оптимального управления. *ЖВМ и МФ*, т. 15, № 4.
7. Белецкий В. В. Движение спутника относительно центра масс в гравитационном поле. М., Изд-во МГУ, 1975.
8. Понгрягин Л. С., Болтянский В. Г., Гамкрелидзе Р. В., Мищенко Е. Ф. Математическая теория оптимальных процессов. М., «Наука», 1976.
9. Филиппов А. Ф. О некоторых вопросах теории оптимального регулирования. *Вестн. МГУ, Сер. матем., механ., физ., хим.*, 1959, № 2.
10. Айзекс Р. Дифференциальные игры. М., «Мир», 1967.